

РЕЛАКСАЦИОННАЯ СПЕКТРОСКОПИЯ ГРАНИЦ РАЗДЕЛА ПОЛУПРОВОДНИК—ДИЭЛЕКТРИК ПРИ АВТО- И ТЕРМОАВТОЭМИССИОННОМ ОПУСТОШЕНИИ ПОГРАНИЧНЫХ СОСТОЯНИЙ

Гольдман Е. И., Ждан А. Г., Маркин Ю. В.

Предлагается метод спектроскопии ПС по релаксационным сигналам, адекватный случаю, когда опустошение ПС происходит в режимах авто- или термоавтоэлектронной эмиссии. Поскольку темп выброса носителей заряда с ПС существенно зависит от электрического поля в слое обеднения полупроводника, естественно анализировать зависимости измеряемых сигналов от величины поверхностного изгиба зон U_s . Для дискретных и непрерывно распределенных по энергии ПС построена теория, описывающая зависимость релаксационных сигналов — плотности тока разряда ПС и сигнала DLTS от U_s . Рассмотрены два случая — измерение разряда ПС при постоянном и при монотонно возрастающем U_s . Построенная теория позволяет проводить спектроскопию ПС, опустошающихся только в авто- и термоавтоэмиссионном режиме.

В [1] было показано, что авто- или термоавтоэмиссионное опустошение пограничных состояний (ПС), локализованных на контакте полупроводник—диэлектрик, приводит к сдвигу, деформации или даже к исчезновению пиков сигналов, характерных для релаксационных методов спектроскопии [2, 3]. Найденные в [1] условия проявления туннельных эффектов позволили установить границы применимости основанных на предположении о термоэмиссионном опустошении ПС стандартных приемов обработки соответствующих экспериментальных данных. В настоящей работе развивается методика анализа результатов релаксационных измерений для случаев, когда авто- или термоавтоэмиссионное опустошение ПС играет доминирующую роль. В этой ситуации время жизни носителей заряда на ПС существенно зависит от электрического поля в слое обеднения, поэтому естественно идентифицировать проявления туннельных эффектов по полевым (а не по температурным, как обычно) зависимостям измеряемых релаксационных сигналов — плотности разрядного тока, связанного с опустошением ПС j_s , или напряжения на затворе МДП структуры V_g . Покажем, что такие зависимости, в частности, от величины поверхностного изгиба зон при обеднении U_s позволяют осуществлять спектроскопию ПС, опустошающихся в режимах авто- и термоавтоэлектронной эмиссии.

Пусть в начальный момент времени $t=0$ все ПС на границе невырожденный электронный полупроводник—диэлектрик предельно заполнены, причем часть из них — неравновесно. С помощью формул (2) и (3) работы [1] легко описать кинетику релаксации тока $j_s(t)$ при постоянных температуре T и U_s :

$$j_s = q \int_0^{U_s + F} N_{ss}(E) B(E, U_s) dE, \quad B(E, U_s) = \begin{cases} B_{TF}(E, U_s), & E > U_s \operatorname{th}^2 \theta, \\ B_F(E, U_s), & E < U_s \operatorname{th}^2 \theta, \end{cases} \quad (1)$$

$$B_{TF}(E, U_s) = \tau_{TF}^{-1} \exp\left(-\varepsilon_{TF} - \frac{t}{\tau_{TF}} e^{-\varepsilon_{TF}}\right), \quad \varepsilon_{TF} = \frac{E}{T} - \frac{U_s}{T_0} (\theta - \operatorname{th} \theta), \quad (2)$$

$$B_F(E, U_s) = \tau_F^{-1} \exp\left(-\varepsilon_F - \frac{t}{\tau_F} e^{-\varepsilon_F}\right), \quad \varepsilon_F = \frac{U_s}{T_0} (\theta^* \operatorname{th}^2 \theta^* + \operatorname{th} \theta^* - \theta^*), \quad \operatorname{th}^2 \theta^* = \frac{E}{U_s}. \quad (3)$$

Здесь $N_{ss}(E)$ — спектральная плотность ПС, E — энергия, отсчитываемая от вершины барьера на границе раздела полупроводник—диэлектрик в глубь запрещенной зоны, $\Theta = T_0/T$, $T_0 = (\pi q^2 \hbar^2 N_D / \kappa m^*)^{1/2}$ (T и T_0 измеряются в энергетических единицах), \hbar — постоянная Планка, m^* и q — эффективная масса и заряд электрона, N_D — концентрация ионизованных доноров, κ — диэлектрическая проницаемость полупроводника, F — энергия Ферми в электронейтральном объеме полупроводника ($F > 0$), τ_{TF}^{-1} и τ_F^{-1} — частотные факторы. Верхний предел интегрирования в (1) означает, что опустошаются только ПС, оказавшиеся при $t > 0$ над уровнем Ферми. Выражение (2) описывает термоавто-

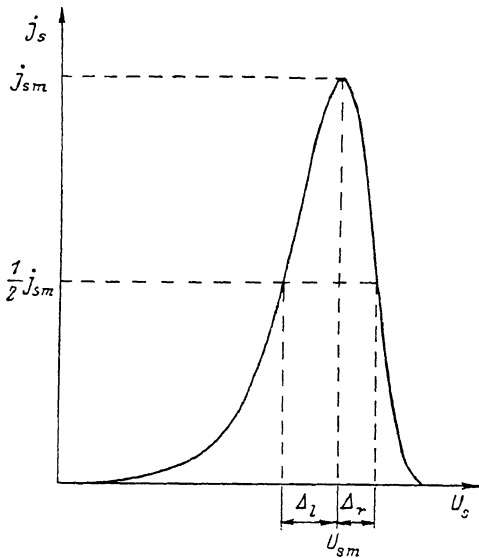


Рис. 1.

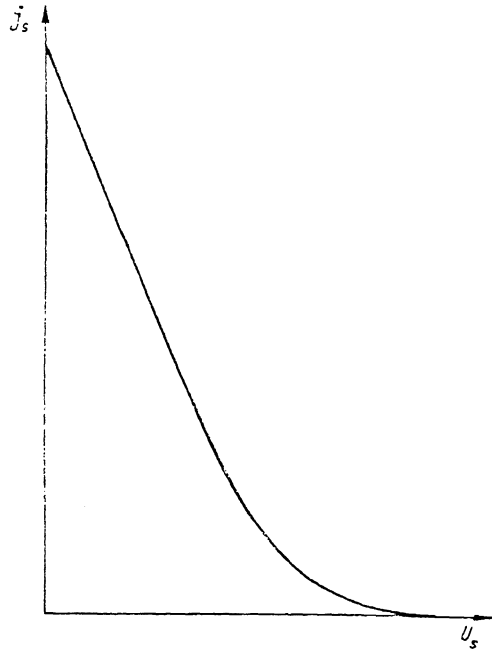


Рис. 2.

и термоэмиссионный выбросы электронов с ПС, а (3) — автоэмиссионный. При $T_0 \rightarrow 0$ (2) переходит в обычную формулу для термоэмиссионного опустошения ПС.

Рассмотрим дискретный спектр ПС: $N_{ss}(E) = N_s \delta(E - E_s)$ (моноэнергетический уровень с плотностью N_s и глубиной E_s).

Будем полагать, что время наблюдения t меньше, чем время жизни электронов на ПС при минимально возможном обедняющем изгибе зон, т. е. при $E_s > F$ ($U_{s \min} = E_s - F$):

$$t < \tau_{TF} \exp \left[\frac{E_s}{T_0} \operatorname{th} \Theta + \frac{F}{T_0} (\Theta - \operatorname{th} \Theta) \right], \quad (4)$$

или при $E_s < F$ ($U_{s \min} = 0$)

$$t < \tau_{TF} \exp \left(\frac{E_s}{T} \right). \quad (5)$$

Зафиксируем некоторый момент времени t в соответствии с неравенствами (4) или (5). Рассмотрим зависимость $j_s(U_s)|_{t=\text{const}}$. Как следует из (1)–(3), эта зависимость имеет форму пика (рис. 1) с полуширинами $\Delta_l = 1.46\Delta$ (со стороны низких U_s) и $\Delta_r = 0.985\Delta$ (со стороны высоких U_s); Δ — некоторая энергия, характеризующая зависимость времени жизни электрона на ПС от изгиба зон $\tau(U_s)$:

¹ С другой стороны, время наблюдения t должно быть больше времени жизни электронов на легирующей примеси у границы раздела полупроводник—диэлектрик.

$$\Delta = \begin{cases} -\left(\frac{\partial \varepsilon_{TF}}{\partial U_s}\right)^{-1}, & E_s > U_s \operatorname{th}^2 \theta, \\ -\left(\frac{\partial \varepsilon_F}{\partial U_s}\right)^{-1}, & E_s < U_s \operatorname{th}^2 \theta. \end{cases}$$

Величина разрядного тока в максимуме $j_{sm} = qN_s et$ ($e = 2.71 \dots$).
Уровни с энергиями

$$E_s < E_{TF} = \frac{T_0 \operatorname{th}^2 \theta}{\theta \operatorname{th}^2 \theta + \operatorname{th} \theta - \theta} \ln \left(\frac{t}{\tau_{TF}} \right)$$

при $U_s = U_{sm}$ (рис. 1) разряжаются в режиме термоавтоэмиссии

$$U_{sm} = \Delta \left[\frac{E_s}{T} - \ln \left(\frac{t}{\tau_{TF}} \right) \right], \quad \Delta = \frac{T_0}{\theta - \operatorname{th} \theta}, \quad (6)$$

а уровни с энергиями

$$E_s > E_F = \frac{T_0 \operatorname{th}^2 \theta}{\theta \operatorname{th}^2 \theta + \operatorname{th} \theta - \theta} \ln \left(\frac{t}{\tau_F} \right)$$

при $U_s = U_{sm}$ опустошаются по автоэмиссионному механизму. В последнем случае U_{sm} и Δ определяются уравнениями

$$U_{sm} = \frac{E_s}{\operatorname{th}^2 \theta_m}, \quad \Delta = \left(\frac{T_0}{\theta^* - \operatorname{th} \theta^*} \right)_{\theta^* = \theta_m}, \quad \theta_m - \frac{\theta_m - \operatorname{th} \theta_m}{\operatorname{th}^2 \theta_m} = \frac{T_0}{E_s} \ln \left(\frac{t}{\tau_F} \right). \quad (7)$$

В частности, если $E_s \gg T_0 \ln(t/\tau_F)$, то

$$U_{sm} = \frac{4E_s^3}{9T_0^2} \ln^{-2} \left(\frac{t}{\tau_F} \right), \quad \Delta = \frac{8E_s^3}{9T_0^2} \ln^{-3} \left(\frac{t}{\tau_F} \right). \quad (7a)$$

Отметим, что при $\theta \ll 1$ выражения (7a) справедливы во всей области, где имеет место механизм автоэмиссионного опустошения ПС: $E_s > E_F$. Наличие максимума на зависимости $j_s(U_s)$ объясняется тем, что с ростом изгиба зон время жизни электрона на ПС уменьшается.² При этом в области малых U_s ($U_s < U_{sm}$) $t < \tau$, и за время t заполнение ПС n_s практически не изменяется: $N_s - n_s \ll N_s$; поэтому j_s возрастает с U_s , как τ^{-1} . Максимум j_s имеет место при $t = \tau$; при больших U_s ($U_s > U_{sm}$) $t > \tau$, и за время t ПС опустошаются сильно: $n_s \ll N_s$, т. е. с ростом U_s заполнение n_s уменьшается, $j_s \sim n_s$, следовательно, ток спадает с увеличением U_s . Если $t > \tau$ при минимально возможном изгибе зон, то в случае $E_s < F$ на кривой $j_s(U_s)$ будет наблюдаться только спадающая ветвь (рис. 2); в случае $E_s > F$ зависимость $j_s(U_s)$ будет иметь максимум, лежащий в области $U_s \approx E_s - F$. Для его строгого описания необходимо учитывать не только выброс электронов с ПС, но и перезхват. Значение разрядного тока в максимуме в этом случае будет существенно меньше, чем в случае $t < \tau$ при $U_s = E_s - F$: во-первых, при этом ПС разряжаются не полностью, а, во-вторых, к моменту времени t неравновесная часть их заполнения резко (в $e^{t/\tau}$ раз) сокращается.

Рассмотрим теперь непрерывный спектр ПС. Зависимость $j_s(U_s)|_{t=\text{const}}$ имеет смысл анализировать только при

$$U_s > \frac{\theta}{\operatorname{th} \theta} \left[T \ln \left(\frac{t}{\tau_{TF}} \right) - F \right]. \quad (8)$$

В противном случае (т. е. при меньших U_s) к моменту времени t все неравновесно заполненные ПС с энергиями $E < U_s + F$ окажутся опустошенными. Ядро интегрального уравнения (1) $B(E, U_s)$ как функция энергии E , так же как и в случае термоэмиссионного опустошения ПС [4], имеет вид узкого пика.

Энергетическое положение его максимума E_m и полуширина Δ_m в режиме термоавтоэмиссионного выброса электронов с ПС, реализующегося при $U_s < E_{TF}/\operatorname{th}^2 \theta$, есть

$$E_m = T \ln \left(\frac{t}{\tau_{TF}} \right) + U_s \left(\frac{\theta - \operatorname{th} \theta}{\theta} \right), \quad \Delta_m = 2.445T. \quad (9)$$

² В отличие от случая чисто термоэмиссионного опустошения, когда τ не зависит от U .

При $U_s > E_F / \text{th}^2 \Theta$ пик функции $B(E, U_s)$ лежит в области автоэмиссионного опустошения ПС. Значения E_m и λ_m определяются соотношениями

$$E_m = U_s \text{th}^2 \Theta_m^*, \quad \lambda_m = 2.445 \frac{T}{\Theta_m^*}, \quad \Theta_m^* \text{th}^2 \Theta_m^* + \text{th} \Theta_m^* - \Theta_m^* = \frac{T_0}{U_s} \ln \left(\frac{t}{\tau_F} \right). \quad (10)$$

Формулы (10) упрощаются при условии $U_s \gg T_0 \ln(t/\tau_F)$:

$$E_m = U_s^{1/3} \left[\frac{3T_0}{2} \ln \left(\frac{t}{\tau_F} \right) \right]^{2/3}, \quad \lambda_m = 2.135 T_0^{2/3} \left[U_s \ln^{-1} \left(\frac{t}{\tau_F} \right) \right]^{1/3}. \quad (10a)$$

Выражения (10a) справедливы во всем диапазоне $U_s > E_F / \text{th}^2 \Theta$ при $\Theta \ll 1$.

Будем считать, что $N_{ss}(E)$ изменяется с E медленнее, чем $B(E, U_s)$. Тогда из (1) получаем

$$j_s = a \frac{qT}{t} N_{ss}(E_m), \quad a = \begin{cases} 1, & U_s < E_{TF} / \text{th}^2 \Theta, \\ \frac{\Theta}{\Theta_m^*}, & U_s > E_F / \text{th}^2 \Theta. \end{cases} \quad (11)$$

Как следует из условия (8) и выражения (9), величина E_m при заданном t ограничена неравенством

$$E_m > E_0, \quad E_0 = \begin{cases} T \ln \left(\frac{t}{\tau_{TF}} \right), & T \ln \left(\frac{t}{\tau_{TF}} \right) < F, \\ T \ln \left(\frac{t}{\tau_{TF}} \right) + \frac{\Theta - \text{th} \Theta}{\Theta} \left[T \ln \left(\frac{t}{\tau_{TF}} \right) - F \right], & T \ln \left(\frac{t}{\tau_{TF}} \right) > F. \end{cases} \quad (12)$$

В стандартном методе термостимулированного разряда конденсатора зависимость $j_s(T)$ удобно получать не по отдельным точкам, отвечающим изотермическому разряду при разных температурах и одинаковому времени наблюдения, а при непрерывном изменении во времени температуры образца по линейному закону [2]. Аналогично и в рассматриваемом случае зависимость $j_s(U_s)$ можно получать в непрерывном режиме, монотонно увеличивая U_s со временем: $\beta = dU_s/dt > 0$. В этом случае выражения для $B_{TF}(E, U_s)$ и $B_F(E, U_s)$ [формулы (2) и (3)] модифицируются:

$$B_{TF}(E, U_s) = \tau_{TF}^{-1} \exp \left[-\varepsilon_{TF} - \tau_{TF}^{-1} \int_{E-F}^{U_s} \frac{e^{-\varepsilon_{TF}(E, U'_s)}}{\beta(U'_s)} dU'_s \right], \quad (13)$$

$$B_F(E, U_s) = \tau_F^{-1} \exp \left[-\varepsilon_F - \tau_F^{-1} \int_{E/\text{th}^2 \Theta}^{U_s} \frac{e^{-\varepsilon_F(E, U'_s)}}{\beta(U'_s)} dU'_s \right]; \quad (14)$$

ε_{TF} и ε_F являются монотонно спадающими функциями U_s . В случае, когда β изменяется с U_s гораздо медленнее, чем $\exp(-\varepsilon_{TF})$ и $\exp(-\varepsilon_F)$, входящие в (13) и (14) интегралы можно вычислить методом Лапласа. После этого (13) и (14) переходят соответственно в (2) и (3) с заменой t на t_β , где

$$t_\beta = \frac{1}{\beta} = \begin{cases} \frac{T_0}{\beta(\Theta - \text{th} \Theta)}, & E > U_s \text{th}^2 \Theta, \\ \frac{T_0}{\beta(\Theta^* - \text{th} \Theta^*)}, & E < U_s \text{th}^2 \Theta. \end{cases} \quad (15)$$

Физически t_β — время, за которое уровень Ферми на границе полупроводника с диэлектриком «сдвинется» на характерную энергию Δ .

³ При этом необходимо учитывать, что помимо тока разряда ПС в цепи затвор—подложка будет протекать и ток смещения, обусловленный изменением емкости слоя обеднения Шоттки. Для нахождения j_s при монотонном возрастании U_s необходимо вычесть из полного разрядного тока ток смещения $j_b = \beta(xN_D/8\pi U_s)^{1/2}$.

Для дискретного спектра пик на зависимости $j_s(U_s)$, характеризуемый выражениями (6) и (7), будет наблюдаться при выполнении условий (4) и (5) с $t=t_\beta$, т. е. при достаточно высоких скоростях нарастания изгиба зон. Поясним физический смысл этих неравенств. При $E_s > F$ в момент прохождения уровня ПС уровнем Ферми (а при $E_s < F$ в начальный момент, $U_s=0$) время жизни электрона на ПС с ростом U_s должно уменьшаться быстрее, чем заполнение ПС. Если $t_\beta > \tau$, то при $E_s < F$ на кривой $j_s(U_s)$ будет только спадающая ветвь пика, а при $E_s > F$ — квазиравновесный максимум тока [5].

Для непрерывного спектра зависимость $j_s(U_s)$ описывается формулами (9)—(11) при условии (8), требующем, чтобы время жизни электрона на уровне ПС при его пересечении уровнем Ферми уменьшалось с ростом изгиба зон быстрее, чем заполнение ПС. При меньших скоростях нарастания U_s заполнение ПС и ток разряда будут квазиравновесными [5].

Пусть теперь в процессе изотермического разряда МДП конденсатора при постоянном изгибе зон U_s наблюдается релаксация полевого напряжения V_g . Сигнал DLTS с помощью формул (2) и (3) работы [1] можно записать в виде

$$\delta V_g = V_g(t) - V_g(2t) = \frac{q}{C_{0x}} \int_0^{U_s+F} N_{ss}(E) W(E, U_s) dE, \quad (16)$$

$$W(E, U_s) = \begin{cases} W_{TF}(E, U_s), & E > U_s \text{ th}^2 \theta, \\ W_F(E, U_s), & E < U_s \text{ th}^2 \theta, \end{cases}$$

$$W_{TF}(E, U_s) = \left[\exp\left(-\frac{t}{\tau_{TF}} e^{-eTF}\right) - \exp\left(-\frac{2t}{\tau_{TF}} e^{-eTF}\right) \right], \quad (17)$$

$$W_F(E, U_s) = \left[\exp\left(-\frac{t}{\tau_F} e^{-eF}\right) - \exp\left(-\frac{2t}{\tau_F} e^{-eF}\right) \right]. \quad (18)$$

Здесь C_{0x} — емкость единицы площади диэлектрического промежутка. Выражения (17) и (18) описывают соответственно термоавто- и автоэмиссионный режимы опустошения ПС.

Ядро интеграла (16) $W(E, U_s)$ как функция энергии E , как и ранее, имеет вид узкого пика. Положение его максимума определяется из условия $t = \tau \ln(2)$; при этом $W = 1/4$ [3]. Таким образом, в случае дискретного спектра ПС зависимость $\delta V_g(U_s)$ имеет вид резкого пика. Его левая и правая полуширины равны 1.476Δ и 1.185Δ соответственно. Значение δV_g в максимуме

$$\delta V_{gm} = qN_{ss}/4C_{0x}$$

Выражение для величины изгиба зон U_{sm} , отвечающего вершине пика δV_g , и условия существования такого пика даются формулами (6), (7) и (4), (5) соответственно, в которых следует заменить t на $t/\ln(2)$.

Для непрерывного спектра ПС

$$\delta V_g = \alpha \frac{qTN_{ss}(E_m)}{C_{0x}} \ln(2), \quad (19)$$

где E_m и α определяются выражениями (9)—(11) с заменой t на $t/\ln(2)$. Формула (19) справедлива при условии (8), в котором также следует заменить t на $t/\ln(2)$.

Полученные в данной работе зависимости $j_s(U_s)$ и $\delta V_g(U_s)$ позволяют проводить спектроскопию ПС, опустошающихся именно в режимах термоавто- и автоэмиссии. Формальный переход к режиму термоэмиссионного опустошения ПС осуществляется при $T_0 \rightarrow 0$, при этом $U_{sm} \rightarrow \infty$, а E_m перестает зависеть от U_s . Чтобы экспериментально различать режимы термоавто- и автоэмиссионного опустошения, необходимо помимо зависимостей $j_s(U_s)$ или $\delta V_g(U_s)$ анализировать температурные характеристики $j_s(T)$ или $\delta V_g(T)$. В области автоэмиссионного выброса электронов с ПС релаксационные сигналы не зависят от температуры.

Л и т е р а т у р а

- [1] Гольдман Е. И., Ждан А. Г., Маркин Ю. В. Релаксационная спектроскопия пограничных состояний в МДП структурах с учетом туннельных переходов носителей заряда в свободную зону. — ФТП, 1987, т. 21, в. 3, с. 461—465.
- [2] Ждан А. Г., Сандомирский В. Б., Ожередов А. Д. Определение параметров ловушек методом термостимулированного разряда конденсатора. — ФТП, 1968, т. 2, в. 1, с. 11—18.
- [3] Lang D. V. — J. Appl. Phys., 1974, v. 45, N 7, p. 3023—3032.
- [4] Simmons J. G., Wei L. S. — Sol. St. Electron., 1974, v. 17, N 2, p. 117—124.
- [5] Kuhn M. — Sol. St. Electron., 1970, v. 13, N 6, p. 873—885.

Институт радиотехники
и электроники АН СССР
Москва

Получена 17.02.1987
Принята к печати 16.06.1987
